

235

235

ISSN 0021-3470



ИЗВЕСТИЯ  
ВЫСШИХ УЧЕБНЫХ  
ЗАВЕДЕНИЙ

# РАДИОЭЛЕКТРОНИКА

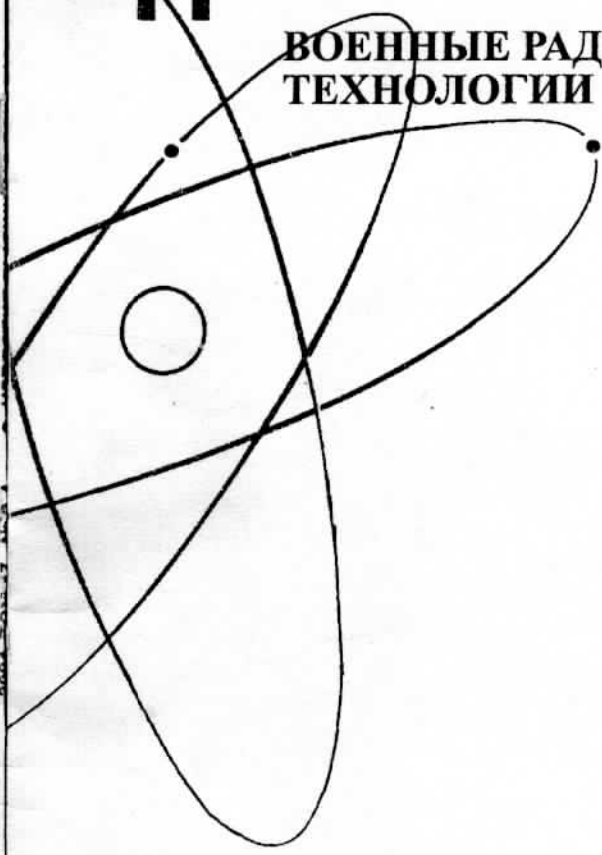
ВОЕННЫЕ РАДИОЭЛЕКТРОННЫЕ  
ТЕХНОЛОГИИ

ТОМ 47

3-4  
март-апрель

ИЗДАНИЕ  
НАЦИОНАЛЬНОГО  
ТЕХНИЧЕСКОГО  
УНИВЕРСИТЕТА  
УКРАИНЫ  
«КИЕВСКИЙ  
ПОЛИТЕХНИЧЕСКИЙ  
ИНСТИТУТ»

2004



ТРИФОНОВ А. П., БЕСПАЛОВА М. Б., ВОРОБЬЕВ А. М.

## СВЕРХШИРОКОПОЛОСНОЕ ОБНАРУЖЕНИЕ ФЛУКТУИРУЮЩЕЙ ЦЕЛИ С НЕИЗВЕСТНОЙ ДАЛЬНОСТЬЮ ПРИ ЗОНДИРОВАНИИ РАЗРЫВНЫМИ ИМПУЛЬСАМИ\*

Найдены характеристики максимально правдоподобных обнаружителей медленно или быстро флуктуирующих целей.

Новым направлением в теории и технике радиоэлектронных систем является использование в качестве зондирующих сигналов импульсов наносекундной и пикосекундной длительности [1—4]. Короткоимпульсные сигналы и их последовательности представляют собой частный случай сверхширокополосных сигналов (СШПС), использование которых имеет свою специфику и позволяет расширить возможности радиолокации. При этом реальные СШПС часто имеют весьма короткие фронты, что позволяет успешно аппроксимировать их разрывными функциями времени [2—4]. В [4] исследована задача обнаружения стабильной цели с неизвестной дальностью при зондировании разрывными импульсами. Однако, многие реальные цели являются флуктуирующими [5], а высокая разрешающая способность СШПС оказывает существенное влияние на процесс обнаружения.

Рассмотрим здесь обнаружение флуктуирующей цели при зондировании последовательностью разрывных СШПС. Положим, что обнаруживаемая цель находится на расстоянии

$$R_0 \in [R_{\min}, R_{\max}] \quad (1)$$

и вначале будем считать цель медленно флуктуирующей [5]. Тогда рассеянный целью сигнал

$$s_N(t, R_0, a_0) = \sum_{k=0}^{N-1} s(t - k\theta - 2R_0/c) = a_0 \sum_{k=0}^{N-1} f[(t - k\theta - 2R_0/c)/\tau], \quad (2)$$

\* Работа выполнена при поддержке CRDF, Минобразования РФ и РФФИ (проекты VZ-010-0 и 04-01-00523).

где  $\theta$  — период следования,  $c$  — скорость распространения сигнала,  $a_0 = \max s(t)$  — амплитуда,  $\tau = \int_{-\infty}^{\infty} s^2(t) dt \left[ \max s^2(t) \right]^{-1}$  — эквивалентная длительность одного импульса, которая, как и в [1—4], не превышает долей наносекунды. Функция  $f(\cdot)$  описывает форму одного импульса и нормирована как

$$\max f(x) = 1, \int_{-\infty}^{\infty} f^2(x) dx = 1, \int_{-\infty}^{\infty} f(x) dx = 0.$$

Обозначим нормированную сигнальную функцию [6] при оценке положения функции  $f(\cdot)$  как

$$\Psi(y) = \int_{-\infty}^{\infty} f(x) f(x-y) dx. \quad (3)$$

Так как СШПС последовательности (2) аппроксимируются разрывными функциями времени, то при  $|y| \rightarrow 0$  для (3) справедливо асимптотическое представление [4, 7]

$$\Psi(y) = 1 - \delta|y| + \alpha(|y|), \delta = \lim_{y \rightarrow 0+} \{[1 - \Psi(y)]/y\} > 0. \quad (4)$$

Пусть рассеянный целью сигнал (2) наблюдается на фоне гауссовского белого шума  $n(t)$  с односторонней спектральной плотностью  $N_0$  и интервал наблюдения  $[0, T]$  больше длительности всей последовательности, т. е.  $T > N\theta$ . Скважность последовательности (2) полагаем не слишком малой, так что отдельные СШПС не перекрываются. Тогда логарифм функционала отношения правдоподобия (ФОП) для (2) определяется выражением [6, 7]

$$L(R, a) = a \sum_{k=0}^{N-1} L_k(R) - a^2 N \tilde{z}^2 / 2, \quad (5)$$

где  $L_k(R) = 2 \int_0^T x(t) f[(t - k\theta - 2R/c)/\tau] dt / N_0$ ,  $x(t) = s_N(t, R_0, a_0) + n(t)$  — реализация наблюдаемых данных при наличии цели и  $x(t) = n(t)$  — при ее отсутствии;  $\tilde{z}^2 = 2\tau / N_0$  — отношение сигнал/шум (ОСШ) для одного СШПС с единичной амплитудой.

Для того, чтобы исключить влияние неизвестных амплитуды и дальности, заменим их значения на оценки максимального правдоподобия [7]. Максимируем с этой целью (5) по  $a$  и  $R$ , имеем

$$L_m = \sup L(R, a) = \sup L(R), R \in [R_{\min}, R_{\max}], \quad (6)$$

$$L(R) = \sup_a L(R, a) = \left[ \sum_{k=0}^{N-1} L_k(R) \right]^2 / 2N\bar{z}^2. \quad (7)$$

Решение о наличии цели принимается, если

$$L_m > h \quad (8)$$

и решение об ее отсутствии, если  $L_m < h$  (порог  $h$  выбирается в зависимости от используемого критерия оптимальности обнаружения [7]).

Подставляя в (7) реализацию наблюдаемых данных при отсутствии цели, получаем

$$L(R) = N^2(R) / 2, \quad (9)$$

где

$$N(R) = \sum_{k=0}^{N-1} N_k(R) / \sqrt{N}, \quad (10)$$

а

$$N_k(R) = 2 \int_0^T n(t) f[(t - k\theta - 2R/c) / \tau] dt / N_0 \bar{z} \quad (11)$$

— реализации независимых стационарных гауссовских процессов, первые два момента которых  $\langle N_k(R) \rangle = 0$ ,  $\langle N_k(R_1) N_i(R_2) \rangle = 0$ ,  $k \neq i$

$$\langle N_k(R_1) N_k(R_2) \rangle = S(R_1, R_2) = \Psi[2(R_1 - R_2) / c\tau]. \quad (12)$$

Формула (12) получена в предположении, что априорный интервал возможных значений дальности (1) не превосходит интервала однозначного измерения дальности [5], так что  $R_{\max} - R_{\min} < c\theta / 2$ .

Из (9)—(11) следует, что при отсутствии цели логарифм ФОП является реализацией негауссовского случайного стационарного процесса с плотностью вероятности

$$W_N(L) = \exp(-L) / \sqrt{\pi L}, L \geq 0 \quad (13)$$

и корреляционной функцией

$$B_N(R_1, R_2) = \langle L(R_1) L(R_2) \rangle - \langle L(R_1) \rangle \langle L(R_2) \rangle = S^2(R_1, R_2) / 2 \quad (14)$$

Используя (4), (12), получаем, что при  $|R_1 - R_2| \rightarrow 0$  для корреляционной функции (14) справедливо асимптотическое разложение

$$B_N(R_1, R_2) = 1/2 - 2|R_1 - R_2| \delta / c\tau + o(|R_1 - R_2|). \quad (15)$$

Согласно определению [7] вероятность ошибки 1-го рода (ложной тревоги) имеет вид

$$\alpha = P[\sup L(R) > h] = 1 - P_N(h), \quad R \in [R_{\min}; R_{\max}], \quad (16)$$

где  $P_N(H) = P[\sup L(R) < H]$  — функция распределения абсолютного (наибольшего) максимума процесса (9).

Для стационарного случайного процесса с плотностью вероятности (13), корреляционная функция (14) которого допускает представление (15), в [7] найдена аппроксимация распределения абсолютного максимума

$$P_N(H) = \begin{cases} \exp[-2m \exp(-H) \sqrt{H/\pi}], & H \geq 1/2, \\ 0, & H < 1/2, \end{cases} \quad (17)$$

где

$$m = 2\delta(R_{\max} - R_{\min}) / c\tau, \quad (18)$$

и характеризует число элементов разрешения по дальности в априорном интервале возможных значений дальности (1).

Подставляя (17) в (16), получаем приближенное выражение для вероятности ложной тревоги при обнаружении медленно флуктуирующей цели:

$$\alpha \cong \begin{cases} 1 - \exp[-2m \exp(-h) / \sqrt{h/\pi}], & h \geq 1/2 \\ 1, & h < 1/2 \end{cases}$$

Точность этой аппроксимации улучшается с ростом  $m$  и  $h$  [7].

Для расчета вероятности ошибки 2-го рода (пропуска цели) подставим в (7) реализацию наблюдаемых данных при наличии цели и преобразуем как

$$L(R) = [S(R_0, R) + N(R)]^2 / 2. \quad (19)$$

Здесь  $N(R)$  определяется из (10),  $S(R_0, R)$  — из (12), а  $z^2 = a_0^2 N_z^2$  — суммарное ОСШ для всей принимаемой последовательности (2). Обозначим  $\Delta R$  длительность функции  $S(R_0, R)$ , так что  $S(R_0, R_0 \pm \Delta R)$ . Тогда в (19)  $S(R_0, R)$  отлична от нуля лишь при  $R \in R_s = [R_0 - \Delta R, R_0 + \Delta R]$ . Соответственно, при  $R \in R_N = \{ [R_{\min}, R_0 - \Delta R]; [R_0 + \Delta R, R_{\max}] \}$  функция  $S(R_0, R) \equiv 0$  и (19) совпадает с (7).

Согласно определению [7], вероятность пропуска цели

$$\beta = P[\sup L(R) < h], \quad R \in [R_{\min}; R_{\max}]. \quad (20)$$

Пусть  $H_S = \sup L(R), R \in R_S$  и  $H_N = \sup L(R), R \in R_N$ . Положим далее, что априорный интервал возможных значений дальности достаточно велик, так что

$$R_{\max} - R_{\min} \gg \Delta R. \quad (21)$$

Тогда случайные величины  $H_S$  и  $H_N$  приближенно статистически независимы [7] и (20) можно переписать как

$$\beta \cong P(H_N < h)P(H_S < h) = P_N(h)P_S(h). \quad (22)$$

Если выполняется (21), и, соответственно,  $m \gg 1$  (18), то очевидно  $P(H_N < H) \cong P_N(H)$  описывается формулой (17). Для расчета распределения  $P_S(H) = P(H_S < H)$ , аналогично [6], представим (19) как

$$L(R) = S_a(R, R_0) + N_a(R) + 1/2. \quad (23)$$

Здесь

$$S_a(R, R_0) = z^2 S^2(R, R_0) / 2 \quad (24)$$

— сигнальная функция, а негауссовская шумовая функция  $N_a(R) = L(R) - \langle L_a(R) \rangle$  центрирована и обладает корреляционной функцией

$$\begin{aligned} B_a(R_1, R_2) &= \langle N_a(R_1)N_a(R_2) \rangle = \\ &= z^2 S(R_1, R_2)S(R_1, R_0)S(R_2, R_0) + S^2(R_1, R_2) / 2 \end{aligned} \quad (25)$$

Сигнальная функция (24) достигает максимума при  $R = R_0$ . Следовательно, выходное ОСИШ для всей последовательности (2) будет равно [6]

$$z_N^2 = S_a^2(R_0, R_0) / B_a(R_0, R_0) = z^4 / 2(1 + z^2). \quad (26)$$

Если суммарное ОСИШ  $z^2$  для последовательности (2) достаточно велико, то (26) можно приближенно переписать в виде

$$z_N^2 \cong z^2 / 4. \quad (27)$$

Полагаем далее, что выходное ОСИШ (26), (27) для последовательности (2) достаточно велико, так что распределение  $P_S(H)$  определяется поведением логарифма ФОП (19), (23) в малой окрестности истинного значения дальности  $R_0$  [6, 7]. Обозначим  $\Delta = \max\{|R_1 - R_0|, |R_2 - R_0|, |R - R_0|, |R_1 - R_2|\}$ .

Устремляя  $\Delta \rightarrow 0$  и учитывая (4), (12), получаем, что в малой окрестности  $R_0$  для функций (24), (25) справедливы асимптотические разложения

$$S_a(R, R_0) = z^2(1/2 - 2|R - R_0|\delta / c\tau) + o(\Delta), \quad (28)$$

$$\begin{aligned} B_a(R_1, R_2) &= z^2(1 - 4|R_1 - R_2|\delta / c\tau) - \\ &- \frac{4z^2\delta}{c\tau} \begin{cases} \min(|R_1 - R_0|, |R_2 - R_0|), & (R_1 - R_0)(R_2 - R_0) \geq 0, \\ 0, & (R_1 - R_0)(R_2 - R_0) < 0. \end{cases} \end{aligned} \quad (29)$$

Отметим, что при  $R = R_0$  логарифм ФОП (19), (23) обладает плотностью вероятности  $W_0(L) = \exp(-L - z^2/2) \operatorname{ch}(z\sqrt{2L}) / \sqrt{\pi L}, L \geq 0$ .

Для логарифма ФОП с этой плотностью вероятности, первые два момента которого допускают представления (28), (29), в [7] найдена аппроксимация распределения абсолютного максимума при  $R \in R_S$ :

$$P_S(H) \equiv \int_0^H [1 - \exp(-H-x)]^2 \exp(-x - z^2/2) \operatorname{ch}(z\sqrt{2x}) (\pi x)^{-1/2} dx. \quad (30)$$

Подставляя (17) и (30) в (22), получаем приближенные выражения для вероятности пропуска при обнаружении медленно флуктуирующей цели

$$\beta \equiv \sqrt{\frac{2}{\pi}} \exp\left[-2m \exp(-h) \sqrt{\frac{h}{\pi}} \int_0^{\sqrt{2h}} \left[1 - \exp\left(-h - \frac{x^2}{2}\right)\right]^2 \exp\left(-\frac{x^2 + z^2}{2}\right) \operatorname{ch}(xz) dx\right]$$

при  $h \geq 1/2$  и  $\beta \equiv 0$  при  $h < 0$  (точность этого приближения улучшается с ростом  $z, h$  и  $m$ ).

Найдем далее характеристики обнаружения быстро флуктуирующей цели. Рассеянный быстро флуктуирующей целью сигнал имеет вид [5]

$$s_N(t, R_0, a_{0k}) = \sum_{k=0}^{N-1} a_{0k} f\{[t - k\theta - 2R_0/c] / \tau\}. \quad (31)$$

Аналогично (5), логарифм ФОП для последовательности (31) определяется выражением [6]

$$L(R, a_k) = \sum_{k=0}^{N-1} a_k [L_k(R) - a_k \tilde{z}^2 / 2]. \quad (32)$$

Здесь  $x(t) = s_N(t, R_0, a_{0k}) + n(t)$  — реализация наблюдаемых данных при наличии цели и  $x(t) = n(t)$  — при ее отсутствии. Для того, чтобы исключить влияние неизвестных амплитуд и дальности, заменим их значения на оценки максимального правдоподобия [7]. Максимизируя с этой целью (32) по всем  $a_k, k = 0, \bar{N}$  и  $R$ , получаем

$$L_{fm} = \sup L(R, a_k) = \sup L_f(R), R \in [R_{\min}; R_{\max}], \quad (33)$$

$$L_f(R) = \sup_{a_k} L(R, a_k) = \sum_{k=0}^{N-1} L_k^2(R) / 2\tilde{z}^2. \quad (34)$$

В результате, решение о наличии цели принимается согласно (8), где (6) следует заменить на (33). Подставляя в (34) реализацию наблюдаемых данных при отсутствии цели, получаем

$$L_f(R) = \sum_{k=0}^{N-1} N_k^2(R) / 2, \quad (35)$$

где  $N_k(R)$  определяется из (11).

Из (35), (11), (12) следует, что при отсутствии цели логарифм ФОП является реализацией негауссовского случайного стационарного процесса с плотностью вероятности

$$W_{fN}(L) = L^{N/2-1} \exp(-L) / \Gamma(N/2), L \geq 0, \quad (36)$$

где  $\Gamma(\cdot)$  — гамма-функция, и корреляционной функцией

$$\begin{aligned} B_{fN}(R_1, R_2) &= \langle L_f(R_1) L_f(R_2) \rangle - \langle L_f(R_1) \rangle \langle L_f(R_2) \rangle = \\ &= NS^2(R_1, R_2) / 2 \end{aligned} \quad (37)$$

Согласно (4) и (12) при  $|R_1 - R_2| \rightarrow 0$  для корреляционной функции (37) справедливо асимптотическое разложение

$$B_{fN}(R_1, R_2) = N(1/2 - 2|R_1 - R_2| \delta / c\tau) + o(|R_1 - R_2|). \quad (38)$$

Для стационарного процесса (35) с плотностью вероятности (36), корреляционная функция которого (37) допускает представление (38), в [7] дана аппроксимация  $P_{fN}(H) = P[\sup L_f(R) < H]$ ,  $R \in [R_{\min}; R_{\max}]$  распределения абсолютного максимума. При не слишком малых  $m$  она имеет вид

$$P_{fN}(H) \equiv \begin{cases} \exp\left[-\frac{2mH^{N/2}}{\Gamma(N/2)} \exp(-H)\right], & H \geq N/2, \\ 0, & H < N/2 \end{cases} \quad (39)$$

Заменяя в (16) распределение (17) на распределение (39), получаем приближенное выражение для вероятности ложной тревоги при обнаружении быстро флуктуирующей цели

$$\alpha_f \equiv \begin{cases} 1 - \exp\left[-\frac{2mh^{N/2}}{\Gamma(N/2)} \exp(-h)\right], & h \geq N/2, \\ 1, & h < N/2 \end{cases}$$

Точность этой аппроксимаций улучшается с ростом  $m$  и  $h$ .

Для расчета вероятности ошибки 2-го рода (пропуска цели) подставим в (34) реализацию наблюдаемых данных при наличии цели

$$L_f(R) = \sum_{k=0}^{N-1} [z_k S(R_0, R) + N_k(R)]^2 / 2 \quad (40)$$



Здесь  $z_k^2 = a_{0k}^2 \tilde{z}^2$  — ОСШ для  $k$ -го СШПС последовательности (31), а  $S(R_0, R)$  определяется из (13). Полагая, что  $R \in R_S$ , перепишем (40) как

$$L_f(R) = S_f(R, R_0) + N_f(R) + N/2. \quad (41)$$

Здесь сигнальная функция

$$S_f(R, R_0) = z^2 S^2(R, R_0) / 2, \quad (42)$$

а шумовая функция  $N_f(R) = L_f(R) - \langle L_f(R) \rangle$  центрирована и обладает корреляционной функцией

$$\begin{aligned} B_f(R_1, R_2) &= \langle N_f(R_1) N_f(R_2) \rangle = \\ &= z^2 S(R_1, R_2) S(R_1, R_0) S(R_2, R_0) + N S^2(R_1, R_2) / 2. \end{aligned} \quad (43)$$

В (42), (43)  $z^2 = \sum_{k=0}^{N-1} a_{0k}^2 \tilde{z}^2$  — суммарное ОСШ для всей последовательности (31).

Сигнальная функция (42) достигает максимума при  $R = R_0$ . Следовательно, выходное ОСШ для последовательности (31), рассеянной быстро флуктуирующей целью, будет равно [6]

$$z_{fN}^2 = S_f^2(R_0, R_0) / B_f(R_0, R_0) = z^4 / 2(N + 2z^2) = z^2 z_m^2 / 2(1 + z_m^2), \quad (44)$$

где среднее ОСШ для одного СШПС последовательности (31)

$$z_m^2 = z^2 / N = \sum_{k=0}^{N-1} z_k^2 / N. \quad (45)$$

Согласно (44) выходное ОСШ для всей последовательности (31) существенно зависит от среднего ОСШ для одного СШПС (45). Так, при  $z_m^2 \gg 1$  имеем  $z_{fN}^2 \cong z^2 / 4$ , что совпадает с выходным ОСШ (27) при медленных флуктуациях цели. Соответственно, если  $z_m^2 \ll 1$ , то  $z_{fN}^2 \approx z^2 z_m^2 / 2$  и, следовательно, выходное ОСШ для быстро флуктуирующей цели будет существенно меньше, чем для медленно флуктуирующей.

Полагаем далее, что выходное ОСШ (44) достаточно велико при любых  $z_m^2$ , так что достаточно исследовать поведение логарифма ФОП (40), (41) в малой окрестности  $R_0$  [6, 7]. Устремляя  $\Delta \rightarrow 0$ , получаем, учитывая (4) и (13), асимптотические разложения для (42) и (43) в малой окрестности  $R_0$

$$S_f(R, R_0) = z^2 (1/2 - 2R - R_0 \beta / c \tau) + \alpha(\Delta); \quad (46)$$

$$B_f(R_1, R_2) = \frac{N + 2z^2}{2} \left[ 1 - \frac{4\delta}{c\tau} |R_1 - R_2| - \frac{8z^2\delta}{c\tau(N + 2z^2)} \min(|R_1 - R_0|, |R_2 - R_0|) \right] + \alpha(\Delta), \quad (47)$$

если  $(R_1 - R_0)(R_2 - R_0) \geq 0$  и

$$B_f(R_1, R_2) = \frac{N + 2z^2}{2} \left( 1 - \frac{4\delta}{c\tau} |R_1 - R_2| \right) + \alpha(\Delta), \quad (48)$$

если  $(R_1 - R_0)(R_2 - R_0) < 0$ .

Отметим, что при  $R = R_0$  логарифм ФОП (40), (41) обладает плотностью вероятности

$$W_{f0}(L) = (2L/z^2)^{(N-1)/4} \exp(-L - z^2/2) I_{N/2-1}(z\sqrt{2L}), \quad L \geq 0,$$

где  $I_\nu(\cdot)$  — функция Бесселя мнимого аргумента порядка  $\nu$ .

Для логарифма ФОП с этой плотностью вероятности, первые два момента которого допускают представления (46)–(48), в [7] найдена функция распределения  $P_{SN}(H) = P[\sup L_f(R) < H]$ ,  $R \in R_S$  абсолютного максимума. При не слишком малых ОСШ (44) эта аппроксимация имеет вид

$$P_{SN}(H) \cong \int_0^H \left\{ 1 - \exp \left[ - \frac{z^2(H-x)}{N+z^2} \right] \right\}^2 \left( \frac{2x}{z^2} \right)^{(N-1)/4} \exp \left( -x - \frac{z^2}{2} \right) I_{N/2-1}(z\sqrt{2x}) dx.$$

Заменяя в (22) распределение (17) на распределение (39), а распределение (30) — на это распределение, получаем приближенное выражение для вероятности пропуска быстро флуктуирующей цели

$$\beta_f \cong \exp \left[ - \frac{2mh^{N/2}}{\Gamma(N/2)} \exp(-h) \right] \times \\ \times \int_0^h \left\{ 1 - \exp \left[ - \frac{z^2(h-x)}{N+z^2} \right] \right\}^2 \left( \frac{2x}{z^2} \right)^{(N-1)/4} \exp \left( -x - \frac{z^2}{2} \right) I_{N/2-1}(z\sqrt{2x}) dx$$

при  $h \geq N/2$  и  $\beta_f \cong 0$  при  $h < N/2$  (точность этой аппроксимации улучшается с ростом  $z, h$  и  $m$ ).

Найденные асимптотически (с ростом ОСШ и числа элементов разрешения) точные выражения для характеристик обнаружения позволяют определить потери в эффективности сверхширокополосного обнаружения вследствие флуктуаций цели.

## БИБЛИОГРАФИЧЕСКИЙ СПИСОК

1. Астанин Л. Ю., Костылев А. А. Основы сверхширокополосных радиолокационных измерений.— М. : Радио и связь, 1989.— 192 с.
2. Хармут Х. Ф. Несинусоидальные волны в радиолокации и радиосвязи.— М. : Радио и связь, 1985.— 376 с.
3. Бункин Б. В., Кашин В. А. Особенности, проблемы и перспективы субнаносекундных видеоимпульсных РЛС // Радиотехника.— 1995.— № 4, 5.— С. 128—133.
4. Трифонов А. П., Беспалова М. Б. Сверхширокополосное обнаружение цели при зондировании разрывными импульсами // Радиозлектроника.— 2003.— № 5.— С. 3—10. (Изв. вузов).
5. Сосулин Ю. Г. Теоретические основы радиолокации и радионавигации.— М. : Радио и связь, 1992.— 304 с.
6. Куликов Е. И., Трифонов А. П. Оценка параметров сигналов на фоне помех.— М. : Сов. радио, 1978.— 296 с.
7. Трифонов А. П. Обнаружение сигналов с неизвестными параметрами // Теория обнаружения сигналов.— М. : Радио и связь, 1984.— С. 12—89.

Воронежский государственный ун-т.

Поступила в редакцию 27.11.03.

УДК 621.382.2.029.64

**КАНЕВСКИЙ В. И., ПАК К. Н.**

### **РАСЧЕТ ВАХ ОДНОЭЛЕКТРОННОГО ТРАНЗИСТОРА С ДИСКРЕТНЫМ СПЕКТРОМ ЭНЕРГИИ В ОСТРОВКЕ**

Представлены результаты расчета ВАХ одноэлектронного транзистора с дискретным спектром энергий в островке на основе расширенной ортодоксальной теории. Расчет кривых выполнен с использованием процедуры Монте-Карло. Модель транзистора описывает транспорт электронов и дырок в приборе. Численные результаты показывают, что тонкая структура ВАХ сильно зависит от плотности состояний и расстояния между уровнями энергий носителей в островке.

Известно, что когда размеры туннельных переходов уменьшаются, кулоновское взаимодействие между туннелирующими электронами в системе из двух последовательно соединенных переходов становится существенным, причем туннелирование носителей коррелировано [1]. Как результат, вольт-амперные характеристики (ВАХ) таких структур неустойчивы, что наблюдалось во многих экспериментах [2]. Возникает вопрос, как изменятся свойства системы из последовательно соединенных туннельных переходов, если ее размеры уменьшать до тех пор, пока пространственное квантование энергетического спектра носителей в островке не станет существенным. Заметим, что в системе из двух последовательно соединенных туннельных переходов островков обычно состоит из металла или полупроводника.